

## مقاوم سازی درب سازه های امن با استفاده از ساختار های هندسی چند قوسی

حسن صالحی

استادیار دانشگاه پدافند هوایی خاتم الانبیاء(ص)

(دریافت: ۱۴۰۱/۰۶/۲۰، پذیرش: ۱۴۰۱/۰۹/۰۹)

### چکیده

در مقاله حاضر عملکرد درب های چند قوسی در برابر انفجار با استفاده از مدل سازی در نرم افزار المان محدود ال اس دایتا مورد بررسی قرار گرفته است. استفاده از ساختار چند قوسی علاوه بر کاهش وزن، حجم مصالح و در نتیجه کاهش هزینه تأمین و ساخت درب، باعث توزیع یکنواخت تر تنش و کاهش تمرکز تنش در مقایسه با درب های رایج با سطح صاف می گردد. پارامترهای مورد بررسی در این تحقیق شامل تعداد قوس، ارتفاع قوس، وزن ماده منفجره، تأثیر انفجارات حوزه دور، ابعاد کلی درب، مصالح موردن استفاده در ساخت درب و نوع سخت کننده مورداستفاده جهت افزایش مقاومت آن است. نتایج مدل سازی عددی نشان می دهد که با افزایش تعداد قوس از ۱ تا ۵ قوس، حداکثر جابجایی ایجاد شده در مرکز درب تا حدود ۸۶٪ کاهش پیدا می کند. با افزایش ارتفاع قوس از ۵ به ۱۰ و ۲۰ سانتی متر، بر اساس تعداد قوس های مختلف، حداکثر جابجایی مرکز درب بین ۵ و ۳۲ درصد کاهش می یابد. در میان روش های مختلف مقاوم سازی درب، استفاده از رویه چند قوسی، افزایش بیشتری در مقاومت ایجاد می کند. این روش با مصرف فولاد کمتری این مقاومت را ایجاد کرده و دارای صرفه اقتصادی بیشتری است.

**کلیدواژه ها:** بار انفجار، درب ضد انفجار، تحلیل عددی، لایه چند قوسی، مقاوم سازی.

## Reinforcing Doors of the Safe Constructions Using Multi-Arch Geometric Structures

H. Salehi

Khatam-ul-Anbiya Air Defense University

(Received: 21/09/2022 , Accepted: 30/11/2022 )

### Abstract

In the present paper, the performance of multi-arched doors against explosion has been investigated using modeling in the LSDYNA finite element software. The use of multi-arch structure, in addition to reducing the weight and volume of materials and as a result reducing the cost of providing and building the door, causes a more uniform distribution of stress and reduces the concentration of stress in comparison with common doors with a smooth surface. The parameters investigated in this research include the number of arcs, the height of the arc, the weight of the explosive, the effect of far-field explosions, the overall dimensions of the door, the materials used in the construction of the door, and the type of hardener used to increase its resistance. The numerical modeling results show that by increasing the number of arcs from 1 to 5 arcs, the maximum displacement created in the center of the door decreases by about 86%. Increasing the height of the arch from 5 to 10 and 20 cm, based on the number of different arches, the maximum displacement of the center of the door decreases between 5 and 32%. Among the different methods of strengthening the door, the use of multi-arch method increases the resistance. This method creates this resistance by consuming less steel and is more economical.

**Keywords:** Explosion Load, Explosion-Proof Door, Numerical Analysis, Multi-Arc Layer, Strengthening, Reinforcing.

\*Corresponding Author E-mail: rhr.elect@yahoo.com

Advanced Defence Sci. & Technol., 2022, 3, 203-214.

می‌گردد [۱۴]. بنابراین محققان متعددی در تلاش برای رفع این مشکل برآمدند. تیمش و همکاران [۱۵] بدین منظور پنج حالت درب با رویه‌های تخت (مستطیلی)، مثلثی، ذوزنقه‌ای و دو نوع سه‌می با ارتفاع‌های ۱۵ و ۳۰ میلی‌متر را مورد بررسی قرار دادند. آن‌ها مشاهده نمودند که در تمام پیکربندی‌ها، جابجایی در مرکز درب در مقایسه با درب مستطیلی (که به عنوان درب پایه در نظر گرفته شده بود) کاهش یافت. دلیل چنین رفتاری به افزایش سختی درب‌ها نسبت داده شد. همچنین تقریباً با حفظ جرم یکسان در همه پیکربندی‌ها، فرکانس طبیعی آن‌ها در مقایسه با درب مستطیلی افزایش یافت. پیمان و طولابی [۱۶] در مطالعه خود ثابت نمودند که درب‌های قوسی در مقابل انفجار دارای عملکرد بهتری نسبت به درب‌های تخت هستند. همچنین مطرح نمودند که برای بهبود رفتار درب ضد انفجار، بهتر است که محور دوران قوس موازی با بعد کوچک‌تر آن باشد.

هسی و همکاران [۱۷] با استفاده از تحلیل المان محدود، تأثیر وجود سخت‌کننده بین دولایه درب را بررسی نموده و با مقایسه تنش‌های ایجادشده در سخت‌کننده‌ها و صفحات درب، تأثیر اندازه سخت‌کننده را مورد مطالعه قرار دادند. آن‌ها مشاهده نمودند که استفاده از پروفیل‌های فولادی I شکل به عنوان سخت‌کننده، قسمت اعظمی از انرژی حاصل از انفجار را جذب می‌کند. همچنین با افزایش اندازه سخت‌کننده‌ها مقدار تنش‌های ایجادشده در آن‌ها افزایش یافته و حداقل تنش در سخت‌کننده‌های نزدیک به تکیه‌گاه‌ها ایجاد می‌گردد.

جوئل و همکاران [۱۸] فوم کامپوزیت سیلیکا - آلومینیوم<sup>۱</sup> را به عنوان هسته پنل ساندویچی استفاده نمودند. آن‌ها با استفاده از نرم افزار ال اس داینا<sup>۲</sup> و اندازه‌گیری حداکثر جابجایی ایجادشده در مرکز پنل، رفتار دینامیکی پنل را مورد ارزیابی قرار دادند. همچنین تأثیر ضخامت هسته، مشخصات سخت‌کننده و نرخ کرنش را نیز بر رفتار دینامیکی پنل بررسی نمودند. آن‌ها نتیجه گرفتند که استفاده همزمان از سخت‌کننده و فوم کامپوزیت موجب کاهش جابجایی ایجادشده در مرکز پنل می‌شود. با افزایش ضخامت فوم‌ها، مقدار جابجایی ایجادشده در مرکز درب کاهش پیدا می‌کند. همچنین مشاهده شد که استفاده از این فوم‌ها تأثیری در نرخ ایجاد کرنش‌ها<sup>۳</sup> ندارد.

منگ و همکاران [۱۹] به منظور ساخت درب‌های ضد انفجار سبک، ترکیبی خاص از سخت‌کننده‌ها را در پنل‌های ساندویچی مورد مطالعه قرار دادند. به این منظور از رویه‌های فولادی و سخت‌کننده‌های فیبر کربنی در زیر و از سخت‌کننده‌های فلزی در بین دو لایه استفاده نموده و مقاومت درب را با درب‌های معمولی

## ۱. مقدمه

درب‌های ضد انفجار اغلب در مراکز نظامی، تجاری و صنعتی حساس مورد استفاده قرار می‌گیرند. همچنین استفاده از این درب‌ها در مراکز سیاسی مانند کنسولگری‌ها نیز رایج است [۱۱]. انفجارهای پیش‌بینی نشده ناشی از حملات و انفجارهای تصادفی در نزدیکی ساختمان‌های نظامی و مراکز تجاری موجب ایجاد خسارت‌های فراوان و خرابی‌های متعدد در داخل و خارج سازه شده و آسیب‌های جانی و مالی فراوانی ایجاد می‌کند. در هدف‌های مستحکم همچون سازه‌های امن زیرزمینی نقاطی مانند ورودی‌ها، خروجی‌ها و نظایر آن اصلی ترین نقاط ضعف این سازه‌ها هستند. از طرفی وقوع انفجارهای تصادفی که بر اثر اتفاقات غیرمتوجه مانند تصادفات و خطاهای انسانی رخ می‌دهند نیز می‌توانند موجب بروز خسارت جانی و مالی جبران ناپذیری در این سازه‌ها گردد [۲، ۳]. محققان علاوه بر تلاش برای کاهش خطرات نفوذ امواج انفجار به داخل سازه‌های حساس نموده و طرح‌های متعددی را در این زمینه مورد بررسی قرار داده‌اند [۴، ۵].

به‌دلیل کاربرد پنل‌های ساندویچی در صنایع هواپی، اتومبیل‌سازی، ساختمانی و نظامی، امروزه استفاده از پنل‌های چندلایه با هسته‌های مختلف بهشت توجه قرار گرفته است. درب‌های سنتی چندلایه دارای ساختار فولاد - بتون - فولاد، در مطالعات مختلف تحت تأثیر عوامل مختلفی از قبیل رفتار دینامیکی مصالح تحت اثر انفجار [۶]، تأثیر انواع سخت‌کننده‌ها بر این درب‌ها [۷]، وجود رابطه‌های فنری شکل پذیر با هدف کاهش اثر ضربه [۸]، ساختار تک قوسی چندلایه به همراه میراگر و تیوب‌های مجوف در هسته درب [۹، ۱۰] و نیز رفتار مصالح این درب‌ها تحت اثر انفجارهای پی در پی [۱۱] مورد بررسی قرار گرفته است. زهتاب و صالحی [۱۲] از پنل‌های ساندویچی برای تقویت دیوارهای پیرامونی استفاده نمودند. نتایج آن‌ها نشان داد که استفاده از این مواد می‌تواند به طور مؤثری مقادیر تنش و جابجایی را در انواع دیوارهای بنایی کاهش دهد و به این ترتیب احتمال شکست در دیوارهای تقویت‌شده به‌طور قابل توجهی کاهش یافت. پژوهش‌ها نشان می‌دهند که در بارگذاری انفجاری پانل‌های ساندویچی، شکل هندسی هسته بسیار تأثیرگذار است و بر اساس میزان فشار انفجار، پانل ساندویچی با شکل هندسی خاص می‌تواند عملکرد بهتری داشته باشد [۱۳]. به طوری که بر اساس مطالعات صورت گرفته در فشارهای پایین مدل با هسته دارای شبکه افقی چهارضلعی و در فشارهای بالا مدل با هسته دارای شبکه عمودی شش‌ضلعی کمترین جابجایی را داشتند [۱۳].

علی‌رغم وجود تحقیقات متعدد، استفاده از مصالح مختلف در جهت بالا بردن مقاومت این درب‌ها، موجب ایجاد وزن نسبتاً بالا

<sup>۱</sup> Aluminum cenosphere syntactic foam

<sup>۲</sup> LS-DYNA

<sup>۳</sup> Strain rate

### ۱-۲ مدل آسیب و شکست مواد در نرم افزار ال اس داینا

در تحلیل رفتار دینامیکی مواد، انتخاب مدل آسیب ماده تحت بارهای دینامیکی از اهمیت پویه‌های برخوردار است. این آسیب می‌تواند جدایش و شکست یا تغییر در خواص سختی و پلاستیک ماده باشد. فرایندهای مربوط به شکست<sup>۱</sup> مواد تحت تأثیر نرخ تنفس، کرنش و تاریخچه بارگذاری قرار دارد. یکی از قابلیت‌هایی که در نرم افزار ال اس داینا تعریف شده است امکان حذف المان<sup>۲</sup> و شبیه‌سازی تغییر شکل‌های بزرگ در حین حل مسئله است. این قابلیت، حل برخی مسائل با تغییر شکل‌های بزرگ را از طریق فرمولاسیون لاغرانژی فراهم می‌کند و مشکل منفی شدن حجم المان که در حل این گونه مسائل بروز می‌نماید را از بین می‌برد. مبنای استفاده از این روش آن است که حضور المان‌های دارای تغییر شکل زیاد اغلب نشان‌دهنده وجود آسیب، شکست و ضعیف شدن ماده در آن بخش از ماده است؛ به گونه‌ای که در آن ناحیه ماده توانایی حمل بار کمتری را دارد. تداوم حضور این المان‌ها در مدل سبب می‌شود که گام‌های زمانی خیلی کوچک شده و هزینه تحلیل بالا برود [۲۰]. نرم افزار ال اس داینا برای حذف المان از معیار شکست مبتنی بر کرنش پلاستیک بحرانی استفاده می‌نماید. استفاده از این معیار در مدل‌سازی مسائل نفوذ و انفجار نتایج مطلوبی را در بر داشته است. البته این معیار تنها به کرنش پلاستیک وابسته نیست بلکه میزان تنفس نیز بر چگونگی شکست تأثیرگذار خواهد بود.

### ۲-۲ معادلات حاکم بر مدل رفتاری جانسون-کوک

امروزه مدل رفتاری‌های مختلفی در فرآیندهای مدل‌سازی فلزات استفاده می‌شوند که هر یک از آن‌ها در شرایط خاص خود، پاسخ‌های قابل قبول‌تری از خود نشان می‌دهند. در فرآیند مدل‌سازی انفجار نیز مدل‌های رفتاری مختلفی مورد استفاده قرار می‌گیرد. با توجه به این که فرآیند مورد بررسی در این مطالعه دارای ماهیت دینامیکی و بارگذاری با سرعت بالا است، مدل رفتاری جانسون - کوک برای این وضعیت بسیار مناسب است. در این پژوهش به منظور هماهنگی بهتر مدل رفتاری و سخت‌شوندگی، در شبیه‌سازی‌ها از مدل سخت‌شوندگی جانسون - کوک اصلاح شده استفاده شده است. در این مدل میزان کرنشی که ماده تا لحظه گسیختگی می‌تواند تحمل کند (کرنش شکست ماده)، به صورت تابعی از تنفس سه محوره، نرخ کرنش و دما در نظر گرفته می‌شود که مطابق رابطه زیر محاسبه می‌شود [۲۱]:

$$(1) \quad \varepsilon_f = (D_1 + D_2 EXP(D_3(\eta))) (1 + D_4 \ln \dot{\varepsilon}) (1 + D_5 \theta'')$$

بدون ساخت کننده مقایسه کردند. بر اساس مطالعه آزمایش‌گاهی، مشاهده شد که پس از انفجار، کرنش و تغییر شکل ماندگار ایجاد شده بر روی پوسته درب ناچیز است و می‌توان فرض نمود که مصالح مورد استفاده وارد فاز پلاستیک نمی‌شوند. نتایج تحقیقات نشان‌دهنده افزایش چهار برابر مقاومت درب‌ها و نیز کاهش جابجایی ایجاد شده در مرکز درب به نصف بود. همچنین استفاده از الیاف‌های فیبر کربن به عنوان ساخت‌کننده موجب کاهش عرض ترک‌های ایجاد شده، کاهش خرابی ساخت‌کننده‌ها و افزایش شکل‌پذیری درب‌ها شد. شن و همکاران [۱۹] در تک قوسی ساخته شده از پنل ساندویچی آلومینیومی با هسته فوم آلومینیومی را تحت اثر انفجارهایی در فواصل مختلف مورد مطالعه قرار دادند. نتایج حاصل نشان دادند که تغییر ارتفاع قوس موجب ایجاد تغییر در نحوه جذب انرژی، مود گسیختگی و نرخ کرنش‌های ایجاد شده در درب می‌شود. همچنین ملاحظه شد که جابجایی ماندگار و حداقل ضربه در درب با ارتفاع قوس ۳۰۰ میلی‌متر کمتر از درب با ارتفاع قوس ۶۰۰ میلی‌متر است.

همان‌طور که در بالا ذکر شد محققین متعددی به بررسی رفتار درب‌های ضد انفجار پرداخته‌اند. اغلب این محققین با بررسی پنل‌های ساندویچی تپیر، تأثیر جنس مصالح هسته بر مقدار تنفس و کرنش ایجاد شده در لایه‌های درب را بررسی نموده‌اند. این مطالعه در نظر دارد تا با بررسی ساختار جدید چند قوسی، تأثیر تعداد و ارتفاع قوس و نیز شکل و جنس مصالح رویه را بر مقاومت درب ضد انفجار بررسی نموده و ضمن افزایش ایمنی و بهبود رفتار این درب‌ها، وزن آن‌ها را نیز کاهش دهد.

## ۲. روش تحقیق

در این مطالعه از نرم افزار ال اس داینا برای تحلیل و مدل‌سازی نمونه‌ها استفاده شده است. این نرم افزار توانایی مدل‌سازی انواع مدل‌های دو و سه بعدی را داشته و با به کارگیری حل گرهای غیرخطی قادر به حل مدل‌های پیچیده دینامیکی مانند انفجار، ضربه، شکل‌دهی فلزات، ورق کاری و موارد گسترده دیگر است [۲۰]. قابلیت دیگری که در این نرم افزار وجود دارد، قابلیت شروع مجدد است که سبب می‌شود تحلیل مدل به بخش‌های کوچک‌تر تقسیم شود. یعنی پس از تکمیل حل هر بخش، یک فایل مجازی مجدد ایجاد می‌شود که تمام اطلاعات لازم برای ادامه تحلیل را در بر دارد. قابلیت حل مجدد برای تحلیل مدل، از حذف مازاد المان‌های تخریب شده و نیز حذف مواد و سطوح تماسی که دیگر در تحلیل اهمیت خاصی ندارند، استفاده می‌نماید. عموماً این تغییرات سبب می‌شود که یک تحلیل در زمان مناسب به نتیجه مطلوب برسد [۲۰]. با توجه به این که یکی از اصلی‌ترین پارامترها در مدل‌سازی عددی، مدل رفتاری مورد استفاده است، در این بخش فرمولاسیون مدل عددی به طور کامل مورد بررسی قرار گرفته و نحوه محاسبه پارامترهای مدل شرح داده شده است.

<sup>1</sup> Failure

<sup>2</sup> Element Deletion با Element Erosion

در رابطه بالا  $\Delta \varepsilon_{eq}$  میزان تغییر کرنش معادل در طول یک دوره انتگرال گیری بوده و شکست هنگامی رخ می‌دهد که  $D$  برابر واحد شود.

همان‌طور که پیش‌تر ذکر شد رفتار فولاد با استفاده از مدل رفتاری جانسون-کوک اصلاح شده مدل‌سازی شده است. این مدل جریان تنش را مطابق رابطه زیر به صورت تابعی از کرنش پلاستیک، نرخ کرنش و دما بیان می‌کند [۲۳]:

$$\sigma_{eg} = \left[ A + B \left( \varepsilon_e^{pl} \right)^n \right] \left[ 1 + C \ln \left( \frac{\dot{\varepsilon}_e^{pl}}{\dot{\varepsilon}_0} \right) \right] \left( 1 - \theta^m \right) \quad (5)$$

که در آن  $\dot{\varepsilon}_e^{pl}$  نرخ کرنش مبدأ،  $\varepsilon_e^{pl}$  کرنش پلاستیک معادل،  $\dot{\varepsilon}_e^{pl}$  نرخ کرنش پلاستیک و  $\theta$  دمای نرمال شده است که در رابطه (۱) در خصوص آن توضیح داده شد. مقادیر پارامترهای مورد استفاده در این مدل از کالیبره نمودن مدل عددی با آزمایشگاهی تعیین می‌گردد [۲۴].

### ۳. صحبت‌سننجی

جابجایی ایجادشده در سطح درب یکی از اصلی‌ترین پارامترهای تحلیل رفتار آن است. در ادامه با استفاده از نرم‌افزار الاس‌داینا به شبیه‌سازی رفتار درب فولادی تحت اثر انفجار پرداخته می‌شود و با مقایسه نتایج به دست‌آمده از مدل تحلیلی و مدل آزمایشگاهی مین و همکاران [۲۵]، صحبت نتایج مورد بررسی قرار می‌گیرد.

مین و همکاران [۲۵] برای بررسی رفتار ورق فولادی تحت اثر بار انفجار، ۱۵۰ گرم ماده منفجره C4 را در فواصل ۱۵۰، ۲۰۰ و ۲۵۰ میلی‌متری از سطح صفحه فلزی منفجر نمودند. بدین منظور آن‌ها آزمایشی مطابق شکل (۱) را اجرا کرده و جابجایی‌های ایجادشده در مرکز صفحه فولادی را توسط جابجایی‌سنچ ثبت نمودند.



شکل ۱. چینش آزمایش جهت بررسی تأثیر انفجار بر رفتار صفحه فولادی [۲۵]

در این مطالعه برای انجام صحبت‌سننجی، مقدار ۱۵۰ گرم ماده منفجره در فاصله ۱۵۰ میلی‌متری از مرکز صفحه فولادی قرار داده شد و مرزهای صفحه فولادی نیز به صورت کاملاً گیردار در نظر

در رابطه بالا،  $\theta$  دمای نرمال شده است. دمای  $\theta$  به صورت  $(T - T_r) / (T_m - T_r)$  تعریف می‌شود، که اندیس‌های  $r$  و  $m$  به ترتیب دمای اتفاق و دمای ذوب را نمایش می‌دهند.  $D_1$  تا  $D_5$  ضرایب ثابت وابسته به جنس هستند. برای تعیین  $D_1$ ،  $D_2$  و  $D_3$  از آزمایش کشش بر روی نمونه ورق‌های شیاردار استفاده می‌شود. به این ترتیب که چندین نمونه با شیار میانی برای آزمایش کشش در نظر گرفته می‌شود. عرض نمونه‌ها باید یکسان بوده و فقط شعاع شیارها متفاوت باشد. آزمایش کشش روی نمونه‌ها انجام می‌شود و تا لحظه شکست ادامه می‌یابد. مقادیر  $\eta$  و  $E_f$  برای هر نمونه به دست می‌آید و تعیین پارامترهای  $D_1$ ،  $D_2$  و  $D_3$  از برآش منحنی منطبق بر این نقاط امکان‌پذیر خواهد بود. برای تعیین پارامتر  $D_4$  نیز باید کرنش شکست ماده در نرخ کرنش‌های گوناگون به دست آورده شود. پس از تعیین کرنش شکست ماده در نرخ‌های کرنش متفاوت، با استفاده از داده‌های  $E_f$  بر حسب  $\ln \dot{\varepsilon}$  و برآش نمودار بر آن مقدار  $D_4$  به دست می‌آید. همچنین در رابطه (۱) پارامتر  $\eta$  تنش سه‌محوره است که به صورت زیر تعریف می‌شود:

$$\eta = \frac{\sigma_h}{\sigma_{eq}} \quad (2)$$

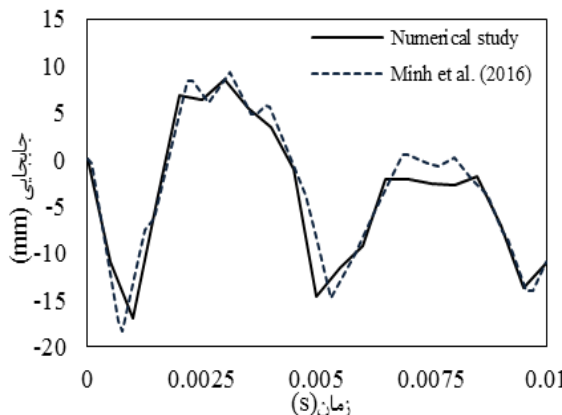
که  $\sigma_{eq}$  تنش معادل فون‌میسز و  $\sigma_h$  تنش هیدرواستاتیک است که به صورت زیر محاسبه می‌شود:

$$\sigma_h = \frac{\sigma_1 + \sigma_2 + \sigma_3}{3} \quad (3)$$

در رابطه فوق  $\sigma_1$ ،  $\sigma_2$  و  $\sigma_3$  تنش‌های اصلی هستند. معادله (۱) به سه قسمت تقسیم می‌گردد که قسمت اول مربوط به اثر تنش سه محوره بر رفتار ماده و دو قسمت بعدی به ترتیب مربوط به اثر نرخ کرنش ( $\dot{\varepsilon}$ ) و دما ( $\theta$ ) بر رفتار ماده است. برای در نظر گرفتن بخش اول معادله یعنی اثر تنش سه محوره بر رفتار ماده، لازم نیست که بخش‌های بعدی تعریف شوند در حالی که برای در نظر گرفتن اثر نرخ کرنش و دما بر رفتار ماده، باید بخش مربوط به اثر تنش سه محوره در نظر گرفته شود. همان‌طور که مشخص است مدل رفتاری جانسون-کوک دارای ضرایب ثابتی است که وابسته به جنس ماده هستند و باید برای ماده مورد نظر تعیین شوند. با به دست آوردن ضرایب ثابت معادله، شکست ماده بر حسب تابعی از تنش سه محوره، نرخ کرنش و دما مشخص می‌گردد و پیش‌بینی مناطق شکست به کمک این مدل امکان‌پذیر خواهد بود [۲۲]. معیار شکست نیز بر پایه تکامل آسیب<sup>۱</sup> گسترش می‌یابد که در آن آسیب ( $D$ ) برای یک المان از ماده، به صورت زیر بیان می‌شود:

$$D = \sum \frac{\Delta \varepsilon_{eq}}{\varepsilon_j} \quad (4)$$

<sup>۱</sup> Damage Evolution



شکل ۲. مقایسه جابجایی مرکز درب مطالعه حاضر با مطالعه مین و همکاران [۲۵]

#### ۴. نتایج و بحث

در این مطالعه به منظور افزایش عملکرد درب های ضد انفجار در کاهش اثرات ناشی از انفجار، عواملی همچون ارتفاع قوس، تعداد قوس، فاصله انفجار، وزن ماده منفجره و ابعاد درب مورد مطالعه قرار گرفته است. در ادامه به بررسی و تشریح تأثیر هر یک از عوامل فوق بر حداکثر جابجایی ایجاد شده در مقطع درب پرداخته شده است.

##### ۱-۴. تعداد قوس

در تمام مدل سازی های این پژوهش، به منظور بررسی پارامتریک رفتار درب، ضخامت آن برابر مقدار ثابت  $3/4$  میلی متر در نظر گرفته شده است. مطابق شکل (۳) طول درب و ارتفاع قوس ها به ترتیب با پارامترهای  $D$  و  $h$  نشان داده شده است. از آنجایی که ممکن است ابعاد درب بر عملکرد آن تأثیرگذار باشد، بنابراین درب هایی با ابعاد مختلف شامل  $1, 2, 4$  و  $6$  متر مورد مطالعه قرار گرفته است. در این بخش برای بررسی تأثیر تعداد قوس بر عملکرد آن در کاهش اثر انفجار، در درب های یک و دو متری ارتفاع قوس برابر مقدار ثابت  $5$  سانتی متر نگه داشته شد و مدل هایی با تعداد  $1$  تا  $5$  قوس ساخته شده و نتایج آن ها با هم مقایسه شده است. در مرحله بعد به بررسی تأثیر ارتفاع قوس بر عملکرد آن پرداخته شده است که در آن برای هر یک از تعداد قوس های  $2, 3, 4$  و  $5$ ، در درب های دو متری مقدار ارتفاع بصورت متغیر برابر  $5, 10, 20$  و  $30$  سانتی متر و در درب های چهار متری ارتفاع برابر مقدار  $5, 10, 20$  و  $30$  سانتی متر در نظر گرفته شد. در بخش بعدی نیز برای در نظر گرفتن تأثیر مقدار ماده منفجره، در درب های دو متری با ثابت نگه داشتن ارتفاع قوس ( $5$  سانتی متر)، مقدار ماده منفجره بصورت متغیر برابر  $250, 500, 750, 1000, 1250$  گرم در نظر گرفته شد و پاسخ ها در درب های دارای  $3, 4$  و  $5$  قوس مورد بررسی قرار گرفت. همچنین برای بررسی تأثیر مصالح مختلف بر مقاومت درب

گرفته شد. برای شبیه سازی تأثیر موج انفجار بر سطح درب، از دستور Load-Blast نرم افزار ال اس داینا استفاده شد. با انجام این دستور فشار اعمالی به نمونه بر اساس معادلات تجربی محاسبه می گردد. معادلات تجربی مربوطه، از تحلیل نتایج هزاران آزمایش انفجار تخمین زده شده است. در این روش وزن و فاصله ماده منفجره با استفاده از مقدار معادل ماده منفجره تی ان تی شبیه سازی می شود [۲۶]. با به کار گیری این روش زمان تحلیل بسیار کاهش یافته و پارامترهای مورد نیاز برای تعریف مدل نیز کاهش پیدا می کنند. مطابق مطالعه مین و همکاران [۲۵] مقداری مدول الاستیسیته، وزن مخصوص و ضریب پواسون فولاد مورد استفاده به ترتیب برابر مقدار  $195$  گیگا پاسکال،  $8060$  کیلو گرم بر متر مکعب و  $0/3$  در نظر گرفته شد. مقدار پارامترهای مورد استفاده در این مطالعه که از کالیبرهای نمودن مدل عددی با آزمایشگاهی تعیین شده اند در جدول (۱) ارائه شده است [۲۴].

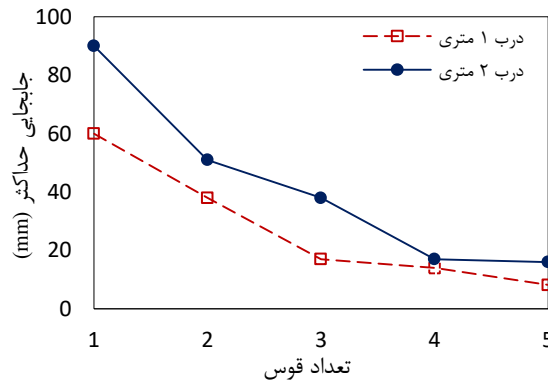
جدول ۱. پارامترهای مدل رفتاری جانسون کوک [۲۴]

$A$ [MPa]	$B$ [MPa]	$n$	$C$	$\dot{\varepsilon}_0$ (s <sup>-1</sup> )	$m$	$T_r$ (k)	$T_m$ (k)	$W_c$ (Pa)
$410$	$1700$	$296$	$1/0.3$	$0.001$	$0.024$	$0.82$	$0.001$	$235/7e6$

ضرایب جدول فوق دارای مقدار ثابتی هستند و وابسته به جنس مصالح هستند. در جدول فوق ضریب ثابت  $A$  نشان دهنده تنش تسیلیم ماده در شرایط شبه استاتیک است که از روی منحنی تنش - کرنش در حالت شبه استاتیکی و مطابق  $0/2$  درصد کرنش پلاستیک به دست می آید. برای تعیین ضرایب  $B$  و  $n$  از منحنی تنش کرنش در حالت شبه استاتیک استفاده می گردد. ضریب  $C$  نیز مربوط به نرخ کرنش است و از انجام سه آزمایش در دمای اتاق حاصل می شود.

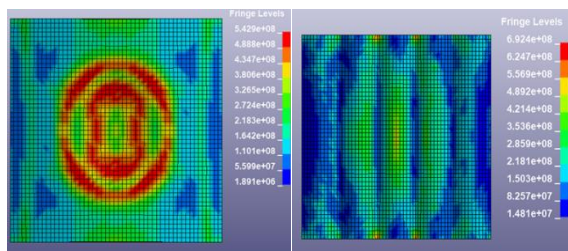
برای انجام صحبت سنگی دقیق تر، علاوه بر مقایسه حداکثر جابجایی رخ داده در آزمایش میدانی با نتایج مدل سازی حاضر، نمودار جابجایی - زمان مطالعه حاضر با مطالعه مین و همکاران [۲۵] نیز مقایسه شده است. حداکثر جابجایی ایجاد شده در مرکز صفحه فولادی حاصل از مدل های عددی و آزمایشگاهی حدود  $17$  میلی متر بوده است که نشان دهنده تطبیق بسیار مناسب مدل سازی انجام شده با نمونه آزمایشگاهی است. از طرفی نمودار جابجایی - زمان صفحه فلزی روی درب برای مدل های عددی در شکل (۲) نمایش داده شده است. مطابق نمودار، حداکثر مقدار جابجایی ورق فولادی مدل عددی مطالعه حاضر و مطالعه مین و همکاران [۲۵] تقریباً هم زمان رخ می دهد. این جابجایی ها به صورت تقریبی در فاصله زمانی  $0/0008$  ثانیه از انفجار ایجاد شده است.

قوس سبب بهبود عملکرد درب می‌شود ولی بعد از افزودن تعداد مشخصی از آن، دیگر کاهش محسوسی در جابجایی رخ نمی‌دهد.



شکل ۴. مقایسه تأثیر تعداد قوس بر حداکثر جابجایی ایجادشده در درب

مطابق شکل (۵) ملاحظه می‌گردد که با افزایش تعداد قوس، مقدار حداکثر تنفس فون میسر ایجادشده در رویه درب تعییل شده و توزیع تنفس به صورت یکنواخت‌تر رخ می‌دهد. بدین ترتیب از تمرکز تنفس در یک نقطه از درب جلوگیری گردیده و سبب بهبود رفتار درب و کاهش احتمال خرابی می‌گردد. مطابق شکل (۵) با افزایش تعداد قوس، سطح حداکثر تنفس فون میسر تقریباً ثابت بوده ولی نحوه توزیع تنفس تغییر می‌کند. به این ترتیب، با افزایش تعداد قوس سطوحی که دارای تنفس حداکثر هستند به شدت کاهش یافته و تمرکز تنفس در نواحی بسیار کوچک‌تری رخ می‌دهد.

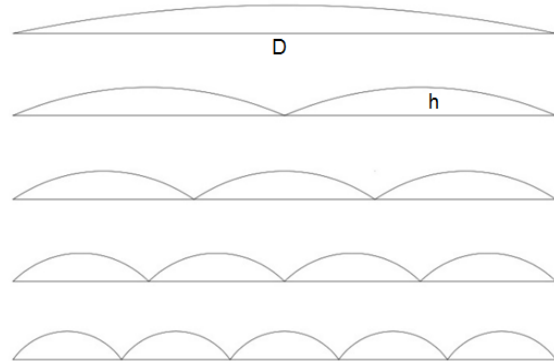


شکل ۵. تنفس فون میسر درب یک متری، سمت راست دارای یک قوس و سمت چپ دارای پنج قوس

#### ۲-۴. ارتفاع قوس

پس از بررسی تأثیر تعداد قوس بر عملکرد درب در مقابل انفجار، در این بخش به بررسی تأثیر ارتفاع قوس بر عملکرد آن خواهیم پرداخت. بدین منظور برای ابعاد درب ۲ و ۴ متری و نیز تعداد قوس ۲، ۳ و ۵ عددی مدل‌سازی صورت گرفت. در این مدل‌سازی‌ها برای درب ۲ متری سه حالت قوس با ارتفاع‌های ۵، ۱۰ و ۲۰ سانتی‌متر و برای درب ۴ متری چهار حالت با ارتفاع قوس‌های ۵، ۱۰، ۲۰ و ۳۰ سانتی‌متر در نظر گرفته شد. فاصله ماده منفجره از سطح درب برابر ۲۰ سانتی‌متر و وزن ماده منفجره نیز معادل ۲۵۰ گرم تیانتی در نظر گرفته شد. مدل‌سازی مشابه حالت قبل بوده و پس از انجام تحلیل مقادیر جابجایی مرکز درب مورد بررسی قرار گرفت.

نیز از دربهای با ابعاد چهار متر، تعداد ۴ قوس و ارتفاع ۲۰ سانتی‌متر استفاده شد.



شکل ۳. نمایی شماتیک از تعداد قوس نصب شده بر روی درب

در این مدل‌ها مقدار ۲۵۰ گرم ماده منفجره TNT در فاصله ۲۰ سانتی‌متری از سطح درب منفجر شد. پس از انجام تحلیل، جابجایی‌های حداکثر ایجادشده در نقطه‌ی میانی درب اندازه‌گیری شده و نتایج برای ابعاد مختلف درب در شکل (۴) نمایش داده شده است.

با بررسی نتایج ملاحظه می‌گردد که با افزایش تعداد قوس مقادیر جابجایی در مرکز درب کاهش پیدا می‌کند. به عنوان نمونه برای درب ۱ متری تک قوسی حداکثر مقدار جابجایی ثبت شده برابر با ۶ سانتی‌متر است. با افزایش تعداد قوس این مقدار کاهش یافت، به طوری که در دربهای با ۲، ۳، ۴ و ۵ قوس، این مقدار به ترتیب به  $\frac{3}{8}$ ,  $\frac{1}{4}$ ,  $\frac{1}{7}$  و  $\frac{1}{8}$  سانتی‌متر کاهش یافته. همان‌طور که ملاحظه می‌شود با افزایش تعداد قوس از ۱ به ۳ مقدار جابجایی  $\frac{4}{2}$  سانتی‌متر معادل  $72\%$  کاهش یافته است، این در حالی است که افزایش تعداد قوس از ۳ به ۵ باعث کاهش حدود ۵۰ درصد از جابجایی یعنی معادل  $9\%$  سانتی‌متر می‌شود. لذا تأثیر افزایش تعداد قوس‌ها با یکدیگر برابر نبوده و در مقادیر اولیه یعنی از ۱ به ۳ بیش از ۳ به ۵ است.

رونده فوق برای دربهای دو متری نیز برقرار بوده و با افزایش تعداد قوس مقدار جابجایی کاهش پیدا می‌کند. در این دربهای جابجایی برای حالت تک قوسی برابر با ۹ سانتی‌متر بود که با افزایش به ۳ قوس این جابجایی به ۳ سانتی‌متر و برای ۵ قوسی به  $\frac{1}{4}$  سانتی‌متر کاهش پیدا کرده است. در این حالت نیز با افزایش تعداد قوس‌ها، مقدار جابجایی به تدریج کاهش یافته است، به طوری که مقدار جابجایی درب ۵ قوسی معادل  $16\%$  جابجایی درب تک قوسی است. همچنین مشاهده می‌شود که میان جابجایی درب چهار و پنج قوسی اختلاف چندانی وجود ندارد. این بدان معنی است که برای درب با ابعاد مختلف باید تعداد قوس بهینه را با طراحی محاسبه نمود. یعنی علیرغم اینکه افزایش تعداد

در این بخش به ارائه وزن هر یک از مدل ها پرداخته شده است. در جدول (۲) وزن درب هایی با تعداد و ارتفاع قوس های مختلف ارائه شده است. همان طور که مشاهده می گردد در درب های ۱ متری با ارتفاع قوس ۵ سانتی متر، در درب های ۲ متری با ارتفاع قوس های، ۵ و ۱۰ سانتی متر و در درب های ۴ متری با ارتفاع قوس های، ۵، ۱۰ و ۲۰ سانتی متر، اختلاف وزن درب های یک و پنج قوسی بین ۱ تا ۷ درصد و به طور میانگین حدود ۴٪ است. با افزایش ارتفاع قوس اختلاف وزن درب ها نیز افزایش می یابد به طوری که در درب های ۲ متری با شعاع قوس ۲۰ سانتی متر و در درب های ۴ متری با شعاع قوس ۳۰ سانتی متر اختلاف وزن درب های یک و پنج قوسی برابر ۲۶ و ۱۶ درصد خواهد بود. همچنین به طور میانگین در هشت مجموعه مدل های ارائه شده تا این بخش، اختلاف وزن درب های یک و پنج قوسی به طور میانگین حدود ۸٪ است.

جدول ۲. وزن درب های مدل شده با ابعاد و تعداد قوس های متفاوت

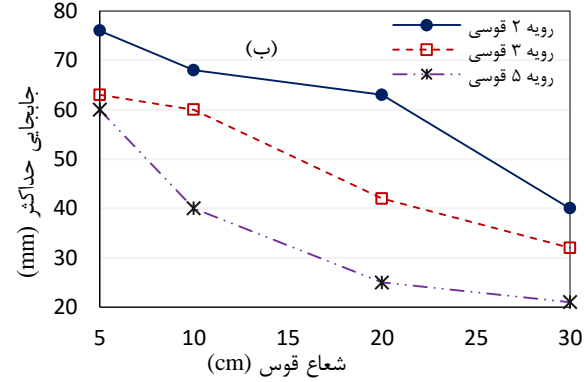
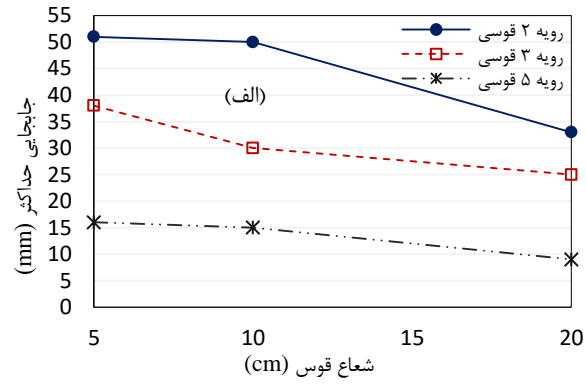
بعضی از مدل های مذکور							
بعضی از مدل های مذکور							
بعضی از مدل های مذکور				بعضی از مدل های مذکور			
بعضی از مدل های مذکور				بعضی از مدل های مذکور			
بعضی از مدل های مذکور							
۳۰	۲۰	۱۰	۵	۲۰	۱۰	۵	۵
۸۶۱	۸۵۷	۸۵۵	۸۵۴	۲۱۶	۲۱۴	۲۱۴	۵۳
۸۷۹	۸۶۵	۸۵۷	۸۵۵	۲۲۵	۲۱۶	۲۱۴	۵۴
۹۰۹	۸۷۹	۸۶۰	۸۵۶	۲۳۷	۲۲۰	۲۱۵	۵۴
۹۵۰	۸۹۸	۸۶۵	۸۵۷	۲۵۴	۲۲۴	۲۱۶	۵۶
۹۹۹	۹۲۲	۸۷۲	۸۵۸	۲۷۴	۲۳۰	۲۱۸	۵۷

### ۳-۴. وزن ماده منفجره

پس از انجام بررسی در خصوص تعداد و ارتفاع قوس ها، این تردید وجود دارد که اگر مقدار ماده منفجره تغییر کند و انفجار شدیدتر شود، آیا باز هم نتایج فوق قابل حصول است یا تغییرات اساسی در آن رخ خواهد داد. بنابراین در بررسی اثر وزن ماده منفجره بر رفتار درب، مدل سازی برای درب های دو متری تک قوسی، ۳ و ۵ قوسی صورت گرفت. در این مدل سازی ها وزن ماده منفجره از ۲۵۰ گرم تا ۱۲۵۰ گرم متغیر بوده و فاصله انفجار از مرکز درب برابر با ۲۰ سانتی متر در نظر گرفته شد. به این ترتیب مقدادیر حداکثر جابجایی مرکز درب اندازه گیری و مورد مقایسه قرار گرفت.

مطابق شکل (۷) با افزایش وزن ماده منفجره، مقدادیر جابجایی به صورت خطی افزایش پیدا کرده است. در درب تک قوسی با توجه به وقوع تسليیم در رویه درب، مقدار این جابجایی در انفجارهای با ۱۰۰۰ و ۱۲۵۰ گرم ماده منفجره ثابت مانده است. به منظور بررسی بیشتر تأثیر وزن ماده منفجره بر رفتار درب ها، نمودار جابجایی - زمان در مرکز درب برای هر کدام از مدل ها ترسیم شده است.

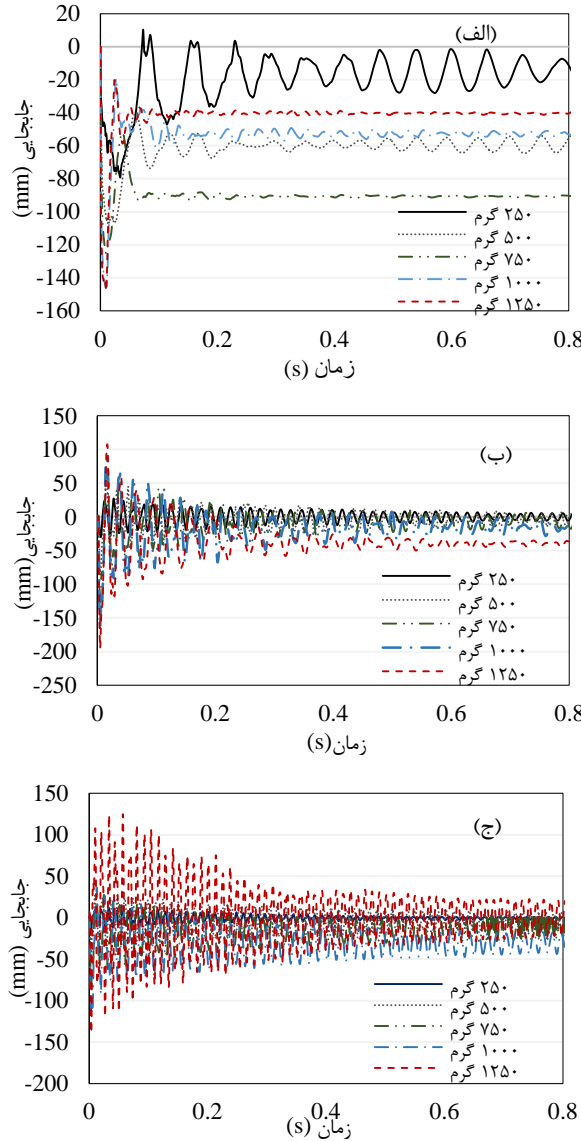
مطابق شکل (۶)، با افزایش ارتفاع قوس مقدار جابجایی حداکثر ایجاد شده در مرکز درب کاهش پیدا می کند. در درب با ابعاد دو متر، زمانی که ارتفاع قوس از ۵ به ۲۰ سانتی متر افزایش پیدا می کند، مقدار جابجایی حداکثر ایجاد شده در درب های دارای رویه ۲، ۳ و ۵ قوس به ترتیب ۳۵، ۳۴ و ۴۳ درصد کاهش می یابد. این حالت برای درب با ابعاد چهار متر نیز رخ داده و با افزایش ارتفاع قوس نرخ کاهش جابجایی بیشتر می گردد. به طوری که در درب با رویه های ۲، ۳ و ۵ قوس، با افزایش ارتفاع قوس از ۵ به ۲۰ سانتی متر مقدار جابجایی حداکثر به ترتیب ۱۷، ۳۳ و ۵۸ درصد کاهش یافته و با افزایش ارتفاع از ۵ به ۳۰ سانتی متر حداکثر جابجایی به ترتیب ۴۷، ۴۹ و ۶۵ درصد بهبود می یابد. دلیل این کاهش جابجایی درب را می توان به تغییر رفتار رویه درب نسبت داد. به عبارتی با افزایش ارتفاع قوس، رفتار بررشی درب کاهش یافته و رفتار فشاری مصالح غالب می گردد که این تغییر رفتار باعث بهبود عملکرد درب می گردد.



شکل ۶. مقایسه تأثیر ارتفاع قوس بر حداکثر جابجایی ایجاد شده در مرکز درب (الف) دو متری و (ب) چهار متری

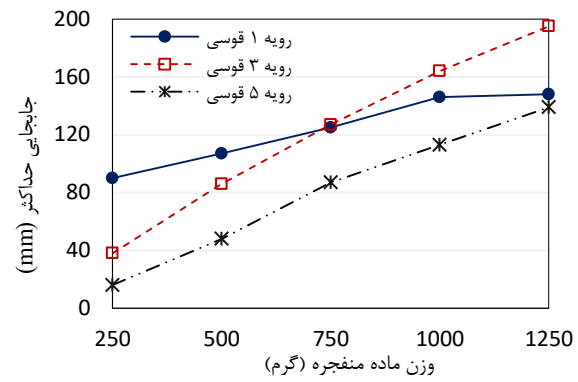
نکته دیگری که از تحلیل نتایج فوق قابل برداشت است این است که کاهش میزان حداکثر جابجایی مرکز درب با افزایش ارتفاع و تعداد قوس های درب در تمام مدل ها رابطه مستقیم دارد. به عبارت دیگر در تمام مدل ها با افزایش تعداد و یا ارتفاع قوس میزان جابجایی کاهش پیدا کرده است. با توجه به این که وزن درب از پارامترهای تأثیرگذار در نتیجه بوده و مبحث هزینه و فایده و به صرفه بودن در هنگام استفاده از آن ها مطرح می شود،

متر با تعداد ۴ قوس به ارتفاع ۲۰ سانتی متر مدل سازی شد. مشخصات و پارامترهای مدل رفتاری این مصالح در جدول (۳) ذکر شده است. مطابق این جدول رفتار الاستیک فولادها سخت‌تر بوده و شکل پذیری کمتری دارند.



شکل ۸. نمودارهای جابجایی- زمان برای وزن‌های مختلف ماده منفجره (الف) تک قوسی (ب) ۳ قوسی (ج) ۵ قوسی

بر اساس شکل (۹) تغییرات جابجایی حداکثر، به شدت تحت تأثیر مشخصات الاستیک مصالح بوده و با کاهش سختی الاستیک جابجایی حداکثر درب افزایش می‌یابد. آلمینیوم T6 دارای بیشترین جابجایی بوده و فولاد ST37 و تیتانیم دارای کمترین جابجایی است. شایان ذکر است با توجه به وزن کم آلمینیوم (۳٪/ وزن فولاد) و ارزان‌تر بودن آن نسبت به تیتانیم مقایسه صرفاً بر اساس جابجایی درست نبوده و لازم است تا توزیع تنش و جابجایی ماندگار بررسی شده و بر اساس نیاز هر حوزه انتخاب مصالح صورت گیرد.

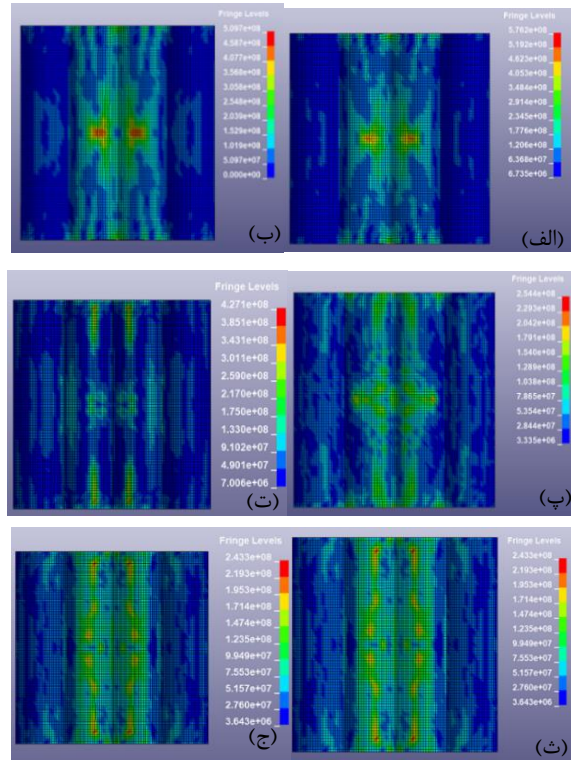


شکل ۷. تأثیر وزن ماده منفجره بر حداکثر جابجایی ایجادشده در مرکز درب

نمودارهای شکل (۸) به منظور بررسی تأثیر وزن ماده منفجره بر مقادیر دامنه نوسان، جابجایی ماندگار و مدت زمان استهلاک انرژی نمایش داده شده‌اند. با بررسی این شکل مشاهده می‌شود که مطابق انتظار با افزایش وزن ماده منفجره مقدار جابجایی حداکثر ایجادشده در درب افزایش پیدا می‌کند. به همراه افزایش مقدار جابجایی، جابجایی ماندگار رویه نیز افزایش یافته و به عبارتی ناحیه خرابی بزرگ‌تر شده است. این افزایش جابجایی به صورت خطی است و با افزایش ۲ برابر مقدار ماده منفجره، مقدار جابجایی حدود ۱/۵ برابر افزایش می‌یابد. همچنین مدت زمان استهلاک انرژی نیز با افزایش ماده منفجره افزایش پیدا می‌کند. با بررسی تعداد قوس‌ها ملاحظه می‌گردد که افزایش تعداد قوس علاوه بر کاهش جابجایی حداکثر، باعث کاهش دامنه نوسان سطح درب نیز می‌گردد. این امر به دلیل افزایش جذب انرژی بر اثر رفتار الاستیک درب رخ می‌دهد.

#### ۴-۴. تأثیر مصالح مختلف بر مقاومت درب

ونگ و همکاران [۲۷] در مطالعه خود تأثیر مقاومت مصالح و هندسه بخش‌های مختلف درب ضد انفجار را بر عملکرد آن مورد بررسی قرار دادند. نتایج نشان داد که ابعاد هندسی قسمت‌های مختلف درب تأثیرات متفاوتی بر عملکرد آن خواهند داشت. افزایش ارتفاع اسکلت بیشترین تأثیر را بر عملکرد درب داشت. در مقابل ضخامت بال I شکل اسکلت و نیز ضخامت پانل‌های داخلی و خارجی تأثیرات کمتری داشتند. همچنین ثابت شد که افزایش مقاومت اسکلت درب می‌تواند به طور قابل توجهی حداکثر پاسخ جابجایی درب را کاهش دهد. به طوری که با افزایش حدود ۱۷ و ۴۷ درصدی مقاومت اسکلت درب، حداکثر جابجایی به ترتیب حدود ۲۸ و ۴۳ درصد کاهش یافت که نشان‌دهنده افزایش قابل توجه عملکرد درب ضد انفجار است. بنابراین در این بخش به منظور بررسی تأثیر جنس مصالح بر رفتار درب، علاوه بر فولاد رایج ساختمانی (ST37)، پنج نوع مصالح دیگر شامل دو نوع فولاد AISI 4340 و AISI 1045، آلمینیوم 6082-T6 و دو نوع تیتانیوم Ti6Al4 استفاده شده است. به این منظور دربی با ابعاد ۴ در ۴



شکل ۱۱. توزیع تنش فون میسز برای درب چهار متري (الف) ST-37  
 (ب) T6-A14-1 (ت) 6082 AISI 4340 (ث) AISI 1045 (ج) T6-6082 AISI 1045

T6-A14-2

#### ۵-۴ مقایسه درب ساده و درب مقاوم شده با اشکال مختلف

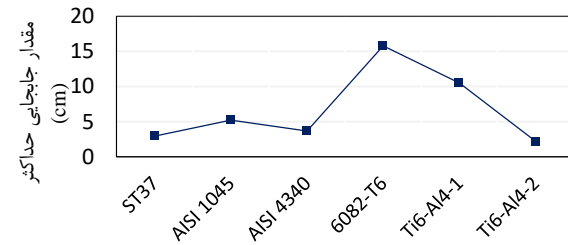
به منظور مقایسه عملکرد قوس و سایر روش های مقاآم سازی درب، مدل سازی برای ۵ حالت مختلف انجام گرفت، در این مدل ها، درب با ابعاد ۵ در ۵ متر با استفاده از، نبشی، تیرآهن IPE و چهار قوس مقاآم سازی شده و تحت تأثیر انفجار ۴۰ کیلوگرم ماده منفجره در فاصله ۵ متری از مرکز درب قرار گرفت.

مطابق شکل (۱۲) درب مقاوم سازی نشده، از ورق فلزی به ضخامت ۲/۵ سانتی متر ساخته شده و دارای وزن ۴۹۰۰ کیلوگرم است، درب مقاوم سازی شده با چهار شاخه ساخته شده با ابعاد ۲۰ به فاصله ۱/۲۵ متر از یکدیگر دارای وزن ۵۷۲۰ کیلوگرم، درب مقاوم سازی شده با چهار شاخه نبشی نمره ۱۰ دارای وزن ۵۳۵۰ کیلوگرم، درب با ۸ شاخه نبشی ۱۰ دارای وزن ۵۸۰۰ کیلوگرم و درب مقاوم سازی شده با چهار قوس با ارتفاع و ضخامت قوس به ترتیب ۲۰ سانتی متر و ۳ میلی متر دارای وزن ۵۵۲۰ کیلوگرم است.

در جدول (۴) وزن، حداکثر جابجایی و حداکثر تنش فون میسز ایجاد شده در درب ها ارائه شده است. مطابق نتایج به دست آمده، مقدار حداکثر جابجایی ایجاد شده در درب مقاوم سازی نشده برابر با ۱۰/۲ سانتی متر است. در شرایطی که از رویه قوسی استفاده شده است، بیشترین کاهش در جابجایی مرکز درب ایجاد شده است. با مقاوم سازی درب با استفاده از رویه قوسی، مقدار حداکثر

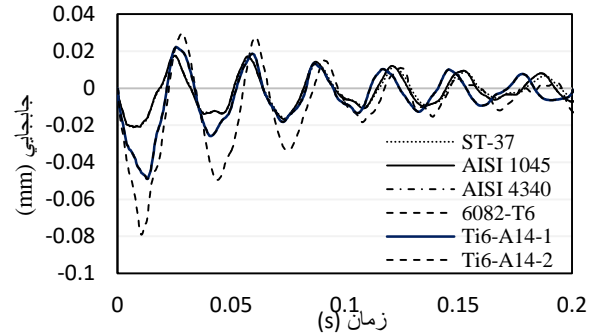
#### جدول ۳ مشخصات مصالح بکار رفته در مدل سازی درب

Ti6-Al4-2	Ti6-Al4-1	6082-T6	AISI-4340	AISI-1045	ST37	مصالح
۱۱۴	۱۱۴	۷۰	۲۰۰	۲۰۰	۲۰۰	(GPa) E
۴۲/۵	۴۲/۵	۲۶	۷۵	۷۵	۷۵	(GPa) G
۰/۳۵	۰/۳۵	۰/۳۳	۰/۳	۰/۳	۰/۳	$\nu$
۴۴۸۰	۴۴۸۰	۲۷۰۰	۸۰۰۰	۸۰۰۰	۸۰۰۰	(kg/m <sup>3</sup> ) ρ
۸۹۶	۷۸۲/۷	۴۲۸/۵	۲۱۰۰	۵۳۳/۱	۴۱۰	(MPa) A
۶۵۶	۴۹۸/۴	۳۲۷/۷	۱۷۵۰	۶۰۰/۸	۱۹۰۲	(MPa) B
۰/۰۱۲۸	۰/۰۲۸	۰/۰۰۲۷۴۷	۰/۰۰۲۸	۰/۰۱۳۴	۰/۰۲۴	c
۰/۵	۰/۲۸	۱/۰۰۸	۰/۶۵	۰/۲۳۴	۰/۸۲	n
۰/۸	۱	۱/۳۱	۰/۷۵	۱	۱/۰۳	m
۲۹۶	۲۹۶	۲۹۶	۲۹۶	۲۹۶	۲۹۶	(k) $T_r$
۱۹۳۳	۱۹۳۳	۸۵۵	۱۷۸۳	۱۷۳۳	۱۷۰۰	(k) $T_m$



شکل ۹. حداکثر جابجایی ایجاد شده در مرکز درب بر اساس نوع مصالح

با بررسی شکل (۱۰) می توان مشاهده نمود که مصالح دارای سختی الاستیک کمتر بیشترین نوسان را داشته و تنها پارامترهای الاستیک مواد بر روی مدت و دامنه نوسان درب تأثیرگذار است. به این ترتیب هر سه نوع فولاد دارای مشخصات الاستیک یکسان بوده و رفتار نوسانی آن ها کاملاً منطبق بر هم است. این اصل در مورد رفتار تیتانیم نیز برقرار است.



شکل ۱۰. جابجایی زمان برای مصالح مختلف در تحت اثر انفجار

مطابق شکل (۱۱) کانتورهای تنش فون میسز مصالح فولادی با توجه به رفتار الاستیک سخت تر و جذب انرژی پایین تر دارای سطح تنش بیشتری هستند. با توجه به سختی الاستیک کمتر تیتانیم و آلومینیم، سطح تنش حداکثر ایجاد شده در آن ها تقریباً با هم برابر است. از طرفی تمکن تنش در آلومینیم به دلیل رفتار نرم تر کمتر است. همچنین الگوی توزیع تنش مستقل از مشخصات مصالح بوده و تنش حداکثر در هر ۶ مصالح در ناحیه میانی ایجاد می گردد.

#### ۴-۶. بررسی عملکرد درب در مقابل انفجار با فاصله زیاد

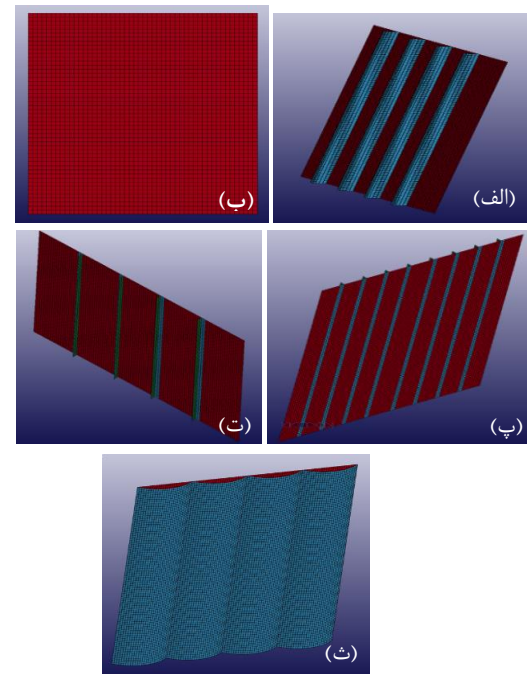
مطالعات نشان داده است که انفجارهای با فاصله کم دارای بازه کوتاه و فشار بیشتر بر سازه هستند و در مقابل انفجارهای با فاصله زیاد (حوزه دور) دارای فشار یکنواخت و کمتر و بازه طولانی‌تری هستند [۲۸].

تا این بخش از این مطالعه، تأثیر عوامل مختلفی همچون تعداد قوس، ارتفاع قوس، وزن ماده منفجره، تغییر مصالح و نیز روش‌های مختلف مقاومسازی بر عملکرد دربهای ضد انفجار مورد بررسی قرار گرفت. حال در این بخش عملکرد درب در مقابل انفجار حوزه دور مورد بررسی قرار می‌گیرد. بدین منظور دربهایی با ابعاد ۵ در ۵ متر، ضخامت  $\frac{3}{4}$  میلی‌متر و ارتفاع قوس ۱۰ سانتی‌متر مدل‌سازی شدند. در این مدل‌ها مقدار ۱۰ کیلوگرم ماده منفجره TNT در فاصله ۵ و ۱۰ متری از سطح درب منفجر شد. پس از انجام تحلیل، جابجایی‌های حداکثر ایجادشده در نقطه میانی درب اندازه‌گیری شده و نتایج برای ابعاد تعدد مختلف قوس در شکل (۱۳) نمایش داده شده است.

بر اساس شکل (۱۳) مشاهده می‌شود که در انفجار حوزه دور نیز همانند انفجار حوزه نزدیک با افزایش تعداد قوس مقدادر حداکثر جابجایی در مرکز درب کاهش پیدا می‌کند. به عنوان نمونه برای درب ۵ متری تک قوسی حداکثر مقدار جابجایی ثبت شده برای انفجارهای رخ داده در فاصله‌های ۵ و ۱۰ متری به ترتیب برابر  $\frac{28}{6}$  و  $\frac{19}{5}$  سانتی‌متر است. در حالی که با افزایش تعداد قوس رویه از ۱ به ۲ و ۳ قوس، مقدار جابجایی برای انفجار رخداده در فاصله ۵ متری به ترتیب  $41$  و  $56$  درصد و برای انفجار رخداده در فاصله ۱۰ متری به ترتیب  $56$  و  $59$  درصد کاهش می‌یابد. بنابراین مشاهده می‌شود که با افزایش تعداد قوس از ۱ به ۳ مقدار جابجایی کاهش محسوسی دارد ولی همانند بخش مربوط به انفجار حوزه نزدیک افزایش تعداد قوس از ۳ به ۵ باعث کاهش محدودتر جابجایی می‌شود. لذا تأثیر افزایش تعداد قوس‌ها در این بخش نیز با یکدیگر برابر نبوده و در مقادیر اولیه یعنی از ۱ به ۳ بیش از ۳ به ۵ است. یعنی علیرغم اینکه افزایش تعداد قوس سبب بهبود عملکرد درب می‌شود ولی بعد از افزودن تعداد مشخصی از آن، دیگر کاهش محسوسی در جابجایی رخ نمی‌دهد.

شکل (۱۴) نمودار انرژی جذب شده درب، با تعداد رویه‌های مختلف را برای انفجاری در فاصله ۵ متری نمایش می‌دهد. همان‌طور که در این شکل مشاهده می‌شود، غالباً انرژی جذب شده توسط رویه‌های قوسی با افزایش تعداد قوس افزایش می‌یابد. مطابق نتایج به دست آمده، رویه درب در زمانی که فقط از یک قوس تشکیل شده است کمترین و در حالتی که از چهار قوس تشکیل شده است بیشترین جذب انرژی را دارد.

جابجایی به  $\frac{1}{8}$  سانتی‌متر کاهش یافته و این در حالی است که مقدار افزایش وزن درب به نسبت کمتر از سایر حالات است و وزن آن فقط  $12\%$  افزایش یافته است. همچنین تنفس فون‌میسر ایجادشده در درب در شرایطی که تقویت درب با استفاده از رویه قوسی انجام گرفته است، حداقل مقدار را دارا بوده و احتمال ایجاد خرابی در درب بسیار کمتر است. پس از مقاومسازی درب با استفاده از قوس حداکثر کاهش جابجایی مربوط به تقویت درب با استفاده از سخت‌کننده IPE200 است. در این حالت نیز مقدار حداکثر جابجایی به  $\frac{3}{8}$  سانتی‌متر کاهش می‌یابد در حالی که وزن آن  $17\%$  افزایش یافته است و نسبت به مقاومسازی با رویه قوسی وزن بیشتری دارد.



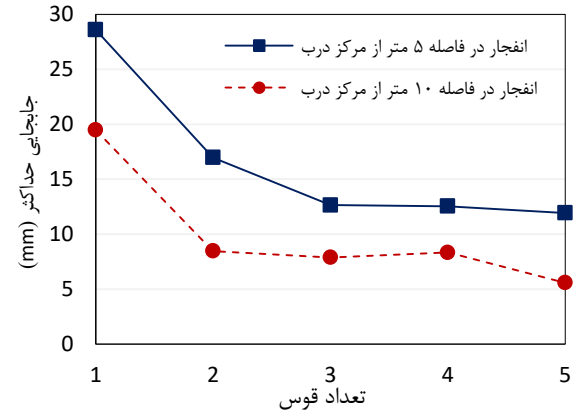
شکل ۱۲. (الف) درب تقویت نشده (ب) درب با چهار شاخه IPE (پ) درب با چهار شاخه نبیشی (ت) درب با هشت شاخه نبیشی (ث) درب با چهار قوس

جدول ۴. مقایسه وزن، حداکثر جابجایی و تنفس فون‌میسر دربهای مقاومسازی شده

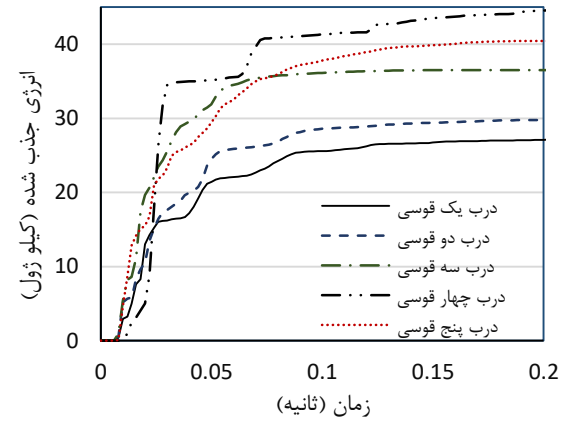
تنفس	جابجایی (cm)	وزن (Kg)	نوع درب (MPa)
- صفحه فلزی به ضخامت $\frac{2}{5}$ سانتی‌متر	$10/2$	۴۹۰۰	
- صفحه فلزی با ضخامت $\frac{2}{5}$ سانتی‌متر و سخت‌کننده IPE200	$\frac{3}{8}$	۵۷۲۰	
- صفحه فلزی با ضخامت $\frac{2}{5}$ سانتی‌متر و چهار شاخه سخت‌کننده نبیشی $10 \times 10$	$5/4$	۵۳۵۰	
- صفحه فلزی با ضخامت $\frac{2}{5}$ سانتی‌متر و هشت شاخه سخت‌کننده نبیشی $L10 \times 10$	$5$	۵۸۰۰	
- صفحه فلزی با ضخامت $\frac{2}{5}$ سانتی‌متر و رویه قوسی به ضخامت ۳ میلی‌متر	$1/8$	۵۵۲۰	

## ۵. نتیجه گیری

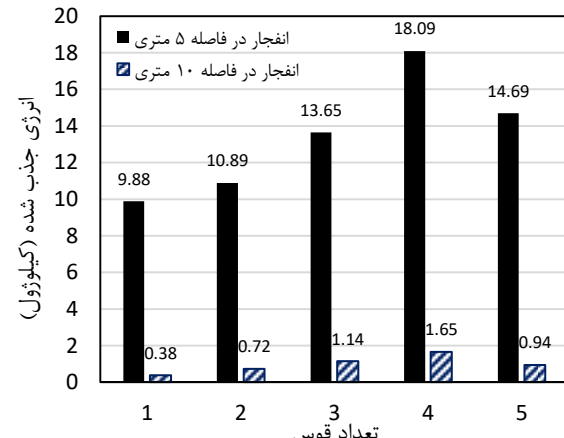
نتایج حاصل از بررسی عملکرد درب های چند قوسی در برابر انفجار با استفاده از مدل سازی در نرم افزار المان محدود ال اس دینا نشان داد که افزایش تعداد قوس باعث کاهش جابجایی ایجاد شده در مرکز درب می گردد. به این ترتیب که تحت اثر انفجار یکسان در مقایسه با درب ساده، درب دارای پنج قوس حدود ۸۶٪ کاهش جابجایی کمتری را ثبت می کند. همچنین افزایش تعداد قوس علاوه بر کاهش جابجایی حداکثر، باعث کاهش دامنه نوسان سطح درب نیز می گردد. این امر به دلیل افزایش جذب انرژی ناشی از رفتار الاستیک درب رخ می دهد. با مقایسه نمودارهای توزیع نتش مشاهده می گردد که با افزودن تعداد قوس بر روی درب، حداکثر نتش ایجاد شده در مرکز درب کاهش یافته، توزیع نتش بر روی درب یکنواخت تر شده و از حداکثر طرفیت مصالح استفاده می گردد. با افزایش تعداد قوس ها تا ۴ عدد، روند بهبود عملکرد درب بسیار مطلوب است و کاهش جابجایی با نرخ بالایی صورت می گیرد. در درب های ۱، ۲ و ۴ متری در حالت ۴ قوسی، متوسط افزایش وزن نسبت به حالت تک قوس به ترتیب حدود ۵، ۸ و ۴ درصد و برای درب های ۵ قوسی حدود ۸، ۱۲ و ۶ درصد است. با توجه به این که تفاوت جابجایی درب های دارای ۴ و ۵ قوس تقریباً ناچیز بوده و در عین حال با افزایش تعداد قوس اندکی افزایش وزن وجود دارد، بنابراین برای درب های ۱ تا ۴ متری، تعداد چهار قوس بهینه ترین حالت بوده و نسبت به حالت تک قوسی باعث کاهش بهینه حداکثر جابجایی ایجاد شده در سطح درب می گردد. افزایش ارتفاع قوس موجب کاهش جابجایی و نتش ایجاد شده در درب می گردد. به طوری که در درب های ۲ متری با افزایش ارتفاع قوس از ۵ به ۱۰ و ۲۰ سانتی متر، بر اساس تعداد قوس های مختلف، به طور میانگین حداکثر جابجایی مرکز درب حدود ۱۰ و ۳۸ درصد کاهش می یابد. از طرف دیگر، با افزایش وزن ماده منفجره مقدار جابجایی حداکثر ایجاد شده در درب، جابجایی ماندگار رویه آن و مدت زمان استهلاک انرژی افزایش پیدا می کند و به عبارتی ناحیه خرابی بزرگ تر می گردد. با افزایش دو برابری مقدار ماده منفجره، مقدار جابجایی حدود ۱/۵ برابر افزایش می یابد. در مقایسه با سایر روش های مقاوم سازی درب، استفاده از رویه چند قوسی، افزایش بیشتری در مقاومت ایجاد می کند. این روش با مصرف فولاد کمتری این مقاومت را ایجاد کرده و دارای صرفه اقتصادی بیشتری است. همچنین، انرژی جذب شده توسط رویه های قوسی با افزایش تعداد قوس افزایش می یابد. مطابق نتایج به دست آمده، رویه در زمانی که فقط از یک قوس تشکیل شده است کمترین و در حالتی که از چهار قوس تشکیل شده است بیشترین جذب انرژی را دارد.



شکل ۱۳. مقایسه تأثیر تعداد قوس بر حداکثر جابجایی مرکز درب در انفجار حوزه دور



شکل ۱۴. نمودار انرژی جذب شده درب با تعداد رویه های مختلف در مقابل زمان برای انفجار در فاصله ۵ متری  
برای مقایسه میزان انرژی جذب شده در انفجارهایی با فاصله ۵ و ۱۰ متر از مرکز درب، کل انرژی جذب شده توسط رویه در بازه زمانی ۰/۲ ثانیه، در شکل (۱۵) نشان داده شده است. با توجه به این شکل می توان نتیجه گرفت که با افزایش دو برابر فاصله محل انفجار، میزان جذب انرژی به شدت کاهش می یابد. از طرفی برای هر دو فاصله انفجاری، با افزایش تعداد قوس عملکرد درب ها در جذب انرژی بهبود یافته و بیشترین جذب انرژی در درب با چهار قوس رخ می دهد.



شکل ۱۵. نمودار مقایسه میزان انرژی جذب شده برای انفجار در فاصله های ۵ و ۱۰ متری

- [15] Thimmesh, T.; Shirbhate, P.; Mandal, J.; Sandhu, I.; Goel, M. "Numerical Investigation on the Blast Resistance of a Door Panel"; Mater. Today: Proc., 2021, 44, 659-666.
- [16] Peyman, S.; Toulabi, H. "Determination of Optimum Length of Blast Wave Trap and Analysis of Steel Explosion-Proof Door in the Tunnel with a Blast Wave Trap"; Adv. Defence Sci. & Technol. 2021, 12, 231-242 (In Persian).
- [17] Hsieh, M. W.; Hung, J. P.; Chen, D. J. "Investigation on the Blast Resistance of a Stiffened Door Structure"; J. Mar. Sci. Technol. 2008, 16, 149-157.
- [18] Meng, F.; Zhang, B.; Zhao, Z.; Xu, Y.; Fan, H.; Jin, F. "A Novel All-Composite Blast-Resistant Door Structure with Hierarchical Stiffeners"; Compos. Struct. 2016, 148, 113-126.
- [19] Shen, J.; Lu, G.; Zhao, L.; Qu, Z. "Response of Curved Sandwich Panels Subjected to Blast Loading"; J. Perform. Constr. Facil. 2011, 25, 382-393.
- [20] LS-DYNA. "Finite Element Software. Lstc (Ansys, Inc.)"; 2014, Available: <http://www.lstc.com>.
- [21] Johnson, G. R.; Cook, W. H. "Fracture Characteristics of Three Metals Subjected to Various Strains, Strain Rates, Temperatures and Pressures"; Eng. Fract. Mech. 1985, 21, 31-48.
- [22] Holmquist, T.; Johnson, G. "Determination of Constants and Comparison of Results for Various Constitutive Models"; J. Phys. IV. 1991, 1, 853-860.
- [23] Jutras, M. "Improvement of the Characterization Method of the Johnson-Cook Model"; 2008.
- [24] Barvik, T.; Olovsson, L.; Hanssen, A.; Dharmasena, K.; Hansson, H.; Wadley, H. "A Discrete Particle Approach to Simulate the Combined Effect of Blast and Sand Impact Loading of Steel Plates"; J. Mech. Phys. Solids 2011, 59, 940-958.
- [25] Minh Thanh, V.; Santosa, S. P.; Widagdo, D.; Putra, I. S. "Steel Plate Behavior under Blast Loading-Numerical Approach Using Ls-Dyna"; Appl. Mech. Mater. 2016, 842, 200-207.
- [26] Ebrahimzade, A.; Peyman, S. "Optimization of Pore Size of Hollow Reinforced Concrete Slabs by Numerical Simulation through Minimizing the Two Characteristics of Deflection and the Amount of Used Concrete under Blast Loading"; Adv. Defence Sci. & Technol. 2022, 12, 333-343 (In Persian).
- [27] Wang, H.; Li, Z.; Wu, Y.; Shao, L.; Yao, M.; Liao, Z.; Tang, D. "Numerical Simulation Study on Factors Influencing Anti-Explosion Performance of Steel Structure Protective Doors under Chemical Explosion Conditions"; Mater. (Basel) 2022, 15, 3880.
- [28] Taghavi Parsa, M. H.; Geravan, A. "Investigating the Destructive Effect of Explosions at Different Distances on Concrete Retaining Walls"; Adv. Defence Sci. & Technol. 2020, 11, 369-382 (In Persian).

## ۶. مراجع

- [1] Anderson, M.; Dover, D. "Lightweight, Blast-Resistant Doors for Retrofit Protection against the Terrorist Threat"; ARA Inc., Panama City FL, 2003.
- [2] Tolani, S.; Bharti, S. D.; Shrimali, M. K.; Datta, T. K. "Estimation of the Effect of Surface Blast on Buildings"; Proc. Inst. Civ. Eng. Struct. Build. 2021, 174, 202-214.
- [3] Salehi, H.; Akbari, E. "Providing Architectural Patterns for Designing Hidden Buildings against Military Threats Based on the Built-in Camouflage Method"; J. PSV. Def. 2019, 10, 83-95 (In Persian).
- [4] Adhikary, S. D.; Dutta, S. C. "Blast Resistance and Mitigation Strategies of Structures: Present Status and Future Trends"; Proc. Inst. Civ. Eng. Struct. Build. 2019, 172, 249-266.
- [5] Zhu, F.; Lu, G.; Ruan, D.; Wang, Z. "Plastic Deformation, Failure and Energy Absorption of Sandwich Structures with Metallic Cellular Cores"; Int. J. Prot. Struct. 2010, 1, 507-541.
- [6] Goel, M. D.; Matsagar, V. A.; Gupta, A. K. "Dynamic Response of Stiffened Plates under Air Blast"; Int. J. Prot. Struct. 2011, 2, 139-155.
- [7] Hao, H. "Preliminary Study of the Structure and Support Forms to Mitigate Blast and Impact Loading Effects"; Proc. 21st Australian Conf. Mech. Struct. Mater. 2011, 597-602.
- [8] Li, C.; Qin, F.; Ya-Dong, Z.; Yi, Z.; Jun-Yu, F. "Numerical and Experimental Investigations on the Blast-Resistant Properties of Arched RC Blast Doors"; Int. J. Prot. Struct. 2010, 1, 425-441.
- [9] Hause, T.; Librescu, L. "Dynamic Response of Doubly-Curved Anisotropic Sandwich Panels Impacted by Blast Loadings"; Int. J. Solids. Struct. 2007, 44, 6678-6700.
- [10] Wang, C.; Xu, B.; Yuen, S. C. K. "Numerical Analysis of Cladding Sandwich Panels with Tubular Cores Subjected to Uniform Blast Load"; Int. J. Impact Eng. 2019, 133, 103345.
- [11] Qin, F.; Li, C.; Mao-lin, D. "Theoretical and Numerical Investigations in Effects of End-Supported Springs and Dampers on Increasing Resistance of Blast Doors"; J. Eng. Mech. 2008, 25, 194-199.
- [12] Zehtab, B.; Salehi, H. "Finite-Element-Based Monte Carlo Simulation for Sandwich Panel-Retrofitted Unreinforced Masonry Walls Subject to Air Blast"; Arab. J. Sci. Eng., 2020, 45, 3479-3498.
- [13] Seyman, S.; Ebrahimzade, A. "Numerical Investigation of the Effect of Geometry on the Energy Absorption Rate of Sandwich Panels under Blast Loading"; Adv. Defence Sci. & Technol. 2020, 11, 347-355 (In Persian).
- [14] Meng, F. M.; Xu, Y.; Gong, H. D.; Ma, S.; Wu, X. "Review on Design and Research of Protective Door"; J. Sichuan Ordnance 2015, 10, 161-164.